

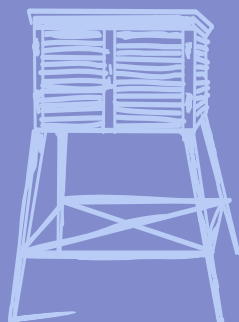
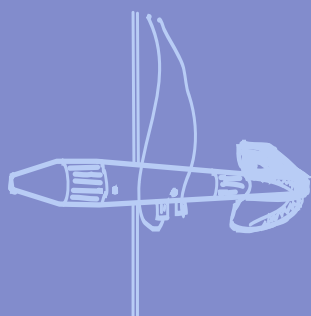
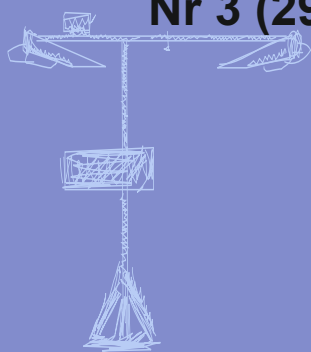
Nr 3 (296)

ISSN 1730-6124

BIULETYN

PAŃSTWOWEJ SŁUŻBY
HYDROLOGICZNO-
METEOROLOGICZNEJ

MARZEC 2026



INSTYTUT METEOROLOGII I GOSPODARKI WODNEJ
PAŃSTWOWY INSTYTUT BADAWCZY



Redakcja biuletynu:

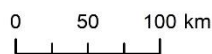
Agnieszka Pietrzykowska
Sławomir Wereski – redaktor naczelny

Pomiary i obserwacje, których wyniki zamieszczono w Biuletynie wykonywane są przez Państwową Służbę Hydrologiczno-Meteorologiczną IMGW-PIB.

Dane w Biuletynie (meteorologiczne i hydrologiczne) pochodzą z operacyjnej bazy danych i ich wartości mogą ulec zmianie po weryfikacji.



- Warszawa** Siedziba IMGW-PIB
- Gdynia** Siedziba biura terenowego
- CBPM** Centralne Biuro Prognoz Meteorologicznych
- BPM** Biuro Prognoz Meteorologicznych
- BMPM** Biuro Meteorologicznych Prognoz Morskich
- CBHO** Centralne Biuro Hydrologii Operacyjnej
- BPH** Biuro Prognoz Hydrologicznych
- CMPIS** Centrum Modelowania Powodziowego i Suszy
- CBPL-MBN** Centralne Biuro Prognoz Lotniczych - Meteorologiczne Biuro Nadzoru
- Stacja Hydrologiczno-Meteorologiczna
- ✈ Stacja Meteorologiczna z Lotniskową Stacją Meteorologiczną
- Stacja Meteorologiczna
- ▲ Wysokogórskie Obserwatorium Meteorologiczne
- ◆ Stacja Badań Niwalnych
- Automatykzna Stacja Synoptyczna
- ⊙ Stacja Badawcza Parowania
- Stacja Pomiarów Aerologicznych



SPIS TREŚCI

1.	Ogólna ocena sytuacji hydrologiczno-meteorologicznej w marcu 2026	4
2.	Warunki meteorologiczne	6
3.	Warunki hydrologiczne	19
4.	Odptyw rzeczny	26
5.	Jeziora.....	29

TABELE

2.1.	Charakterystyki meteorologiczne w marcu 2026	16
3.1.	Najwyższe dobowe sumy opadu w województwach (20 mm i wyższe)	19
3.2.	Najwyższe dobowe przyrosty stanu wody (40 cm i wyższe, o 6 UTC)	20
3.3.	Zestawienie stacji hydrologicznych, na których został przekroczony stan alarmowy.	21
3.4.	Stacje hydrologiczne, na których stan wody w marcu 2026 był niższy od dotychczas obserwowanych wartości (do roku 2024).....	22
4.1.	Odptyw w marcu 2026 w stosunku do wartości charakterystycznych z wielolecia 1951-2020, w wybranych profilach wodowskazowych	27
5.1.	Morfometria i zlewnie jezior	29
5.2.	Stan i temperatura wody jezior w marcu 2026	30
5.3.	Grubość pokrywy lodowej w marcu 2026 [cm]	31

RYSUNKI

2.1.	Mapa synoptyczna (1 III 2026, godz. 12 UTC)	6
2.2.	Mapa synoptyczna (8 III 2026, godz. 12 UTC)	7
2.3.	Mapa synoptyczna (14 III 2026, godz. 12 UTC)	8
2.4.	Mapa synoptyczna (21 III 2026, godz. 12 UTC)	9
2.5.	Mapa synoptyczna (28 III 2026, godz. 12 UTC)	10
2.6.	Średnia miesięczna temperatura powietrza w marcu 2026	14
2.7.	Odchylenie średniej miesięcznej temperatury powietrza w marcu 2026, w stosunku do średniej 1991-2020	14
2.8.	Miesięczna suma opadu atmosferycznego w marcu 2026	15
2.9.	Anomalia miesięcznej sumy opadu atmosferycznego w marcu 2026, jako procent normy wieloletniej 1991-2020	15
2.10.	Średnie dobowe i ekstremalne temperatury powietrza oraz dobowe sumy opadu atmosferycznego w marcu 2026	17
3.1.	Wysokość opadów średnich [mm] i przebieg stanu wody [cm] dla wybranych zlewni w Polsce w marcu 2026	23
3.2.	Hydrogramy stanu wody na Wiśle, Narwi i Bugu w marcu 2026.....	24
3.3.	Hydrogramy stanu wody na Odrze, Nysie Kłodzkiej i Warcie w marcu 2026	25
4.1.	Krzywe sumowe odptywu Wisły w Tczewie i Odry w Gozdowicach	26
5.1.	Lokalizacja jezior bazowych i bilansowych sieci limnologicznej	29

1. **Ogólna ocena sytuacji hydrologiczno-meteorologicznej w marcu 2026***

Średnia obszarowa temperatura powietrza w Polsce w marcu 2026 roku wynosiła 6,4°C i była wyższa od wieloletniej normy dla tego miesiąca (odchylenie od średniej z lat 1991-2020 wynosiło 3,3°C). Według kwantylowej klasyfikacji warunków termicznych miesiąc ten należy uznać za „ekstremalnie ciepły” biorąc pod uwagę średnią dla Polski. Na podstawie danych ze stacji synoptycznych marzec 2026 r. pod względem termicznym był niemal w całej Polsce znacznie powyżej normy - odchylenie powyżej 2,0°C. Jedynie lokalnie na wybrzeżu oraz w rejonie Przedgórze Sudeckiego, gdzie odchylenia od normy wynosiły 2,0°C lub nieco mniej. Najwyższe odchylenia wystąpiły na wschodzie Polski: na stacji w Białymstoku średnia miesięczna temperatura powietrza była wyższa od średniej wieloletniej o 4,7°C. Najniższe dodatnie odchylenie od normy, wynoszące 1,9°C, zanotowano na stacji w Jeleniej Górze. Najwyższa średnia temperatura powietrza wystąpiła w Warszawie i wyniosła 7,8°C (o 4,6°C powyżej normy), najniższa zaś w Helu: 4,7°C, a w górach: na Kasprowym Wierchu: -2,9°C.

Pod względem opadów tegoroczny marzec był niemal na całym obszarze kraju skrajnie suchy: suma opadów wynosiła poniżej 50% normy, a na znacznym obszarze nawet poniżej 25% normy. Jedynie na południu Polski miejscami był bardzo suchy lub suchy (odpowiednio 50-74% i 75-89% normy opadowej), w Karpatach zaś miejscami mieścił się w normie lub był wilgotny (90-110% i 111-125% normy). Na południu woj. małopolskiego lokalnie marzec był nawet bardzo wilgotno lub skrajnie wilgotny (odpowiednio 126-150% oraz powyżej 150% normy). Najwyższą miesięczną sumę opadów: 65,0 mm, zanotowano w Bielsku-Białej, co stanowiło 111% normy wieloletniej dla tej stacji, a na stacjach górskich na Kasprowym Wierchu 150,6 mm (134% normy). Najniższą miesięczną sumę opadów zanotowano na stacji w Suwałkach: 0,2 mm, co stanowiło zaledwie 0,5% normy wieloletniej.

Na rzekach w marcu notowano głównie stabilizację z tendencją spadkową, dopiero w trzeciej dekadzie miesiąca wystąpiły lokalnie wzrosty związane ze spływem wód opadowych. Przekroczenia stanu alarmowego w marcu notowano na 7 stacjach wodowskazowych. W marcu wartości stanu wody niższe lub równe najniższej dotychczas obserwowanej wartości, do roku 2024, odnotowano na 1 stacji wodowskazowej.

Ostatniego dnia marca (31 III) stan wody na Wiśle znajdował się w strefie wody średniej, tylko w środkowym biegu w strefie wody niskiej. Na Narwi przeważała strefa wody średniej, lokalnie notowano strefę wody niskiej. Na Bugu tego dnia stan wody układał się na pograniczu wody średniej i niskiej. Poziom wody na Odrze układał się głównie w strefie wody średniej, tylko w środkowym biegu w strefie wody niskiej. Stan wody na Warcie układał się przeważnie w strefie wody niskiej, w górnym i ujściowym odcinku natomiast w strefie wody średniej.

W marcu wartości odpływu w przekrojach rzek dorzecza Wisły i Odry były zróżnicowane, ale przeważnie niższe od normy.

W marcu 2026 roku średni poziom wody we wszystkich kontrolowanych jeziorach zmienił się w niewielkim stopniu, a średnia wartość zmiany nie osiągnęła 5 cm. W poszczególnych jeziorach obserwowano głównie wzrost poziomu wody (10 jezior), natomiast spadek lustra wody oraz brak zmiany - obserwowano w sumie w dwóch jeziorach,

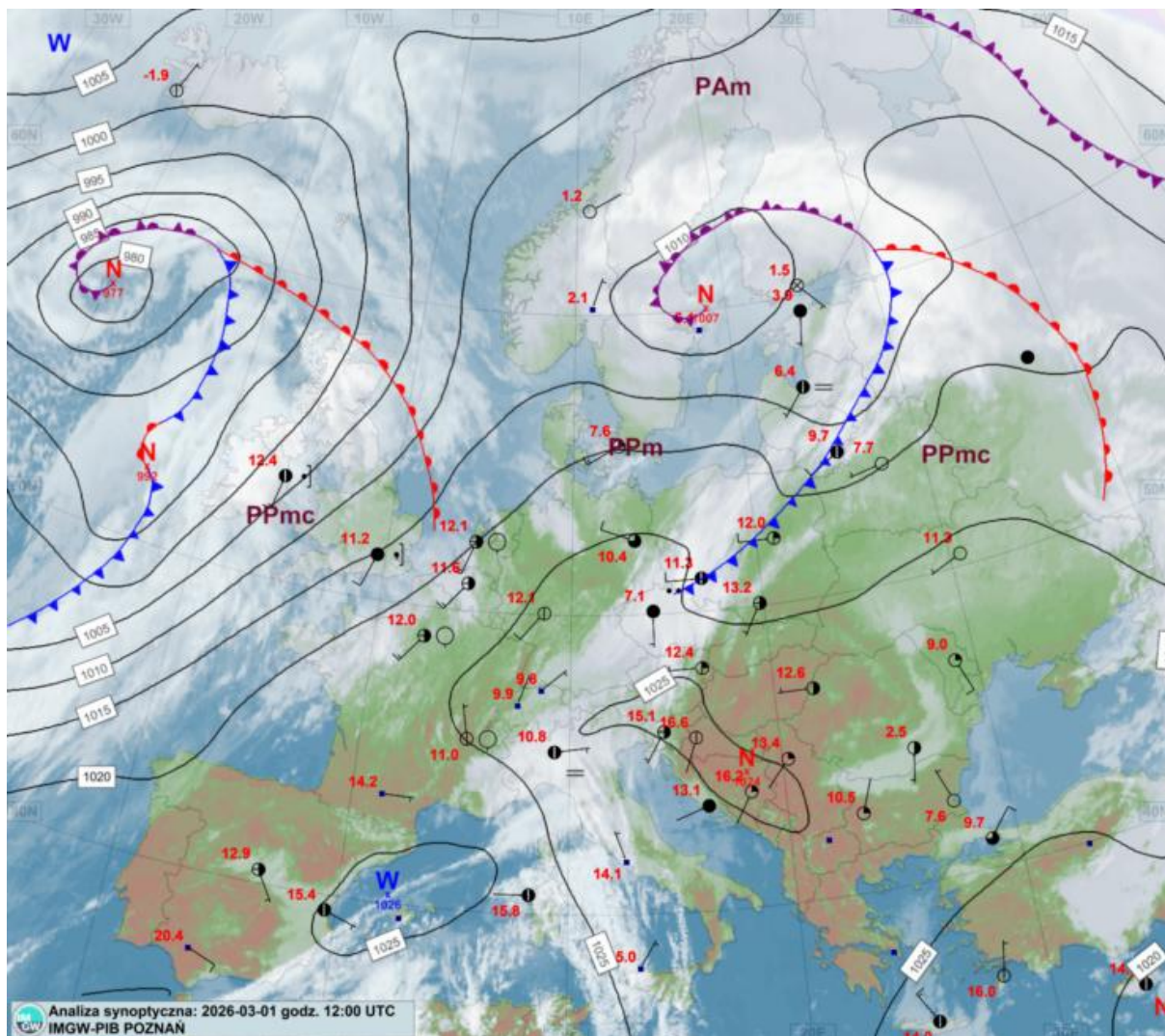


po jednym w każdej z tych grup. Wartość bieżąca nadmiaru wody w jeziorach nad wartością wieloletnią, średnią dla wszystkich jezior, była stosunkowo niska i wynosiła nieco powyżej 1 cm. Na wartość tę złożyły się nadmiary wody w ośmiu akwenach i niedobory w czterech pozostałych. Miesięczna wartość średniej temperatury wody wyniosła 4,4°C. W marcu, trwałą pokrywą lodową odnotowano jeszcze na wszystkich jeziorach, dla których posiadano dane, i było to głównie w pierwszej dekadzie miesiąca. Maksymalną grubość lodu zmierzono na Jeziorze Rajgrodzkim (37 cm; 5 III).

* Podane wartości pochodzą ze stacji synoptycznych. Wszystkie odniesienia dotyczą normy wieloletniej z lat 1991-2020.

2. Warunki meteorologiczne

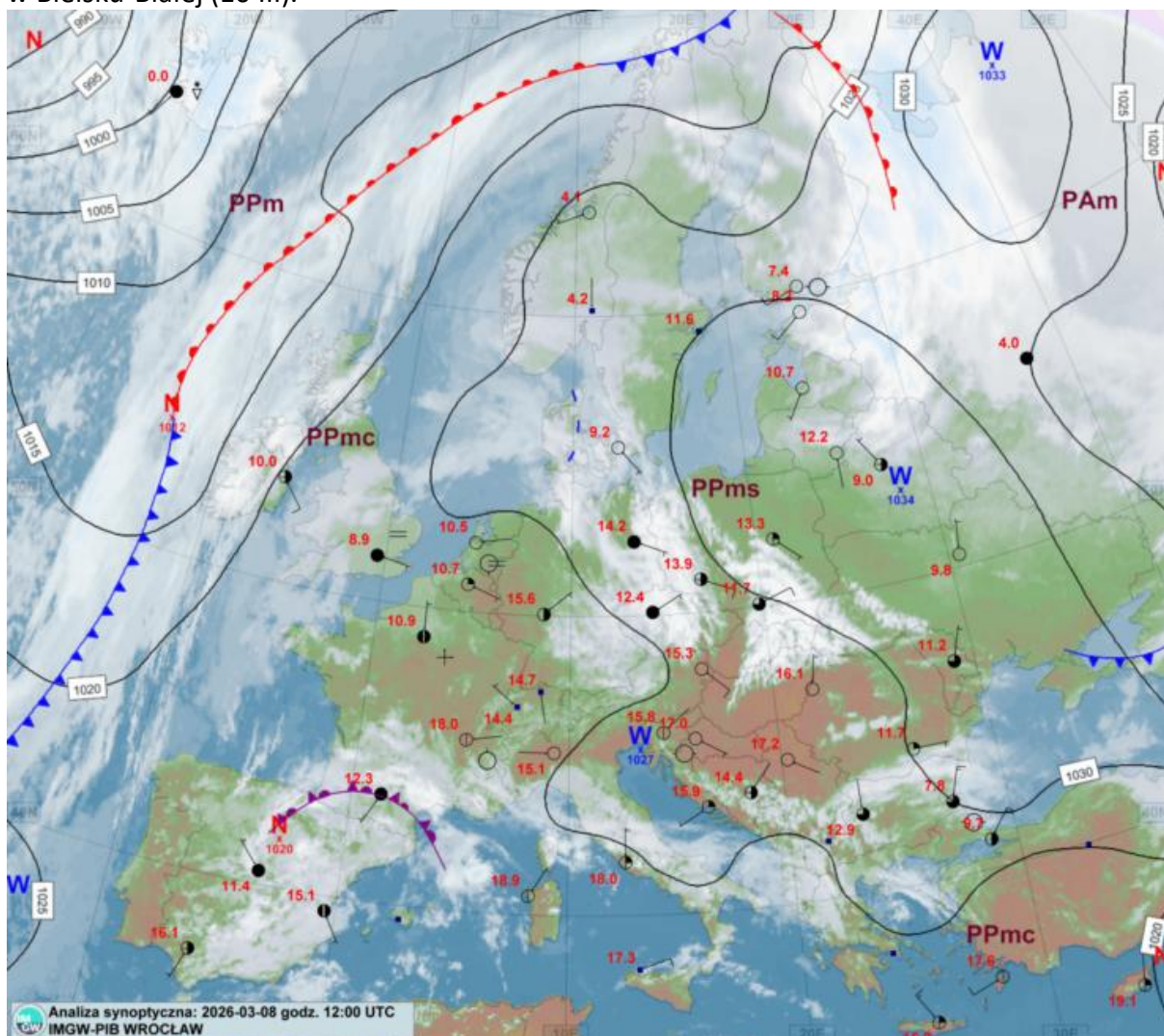
1 III przez Polskę z zachodu na wschód przemieszczała się zatoka niżowa nad Skandynawii wraz z chłodnym frontem atmosferycznym. Napływało ciepłe powietrze polarne morskie, a za frontem chłodniejsze. Poza strefą frontu było na ogół pogodnie, jedynie w jego obrębie zachmurzenie wzrastało, aż do wystąpienia opadów deszczu, zwłaszcza w godzinach wieczornych oraz w nocy z 1 na 2 III. Najsilniejsze porywy wiatru wystąpiły na wybrzeżu: w Łebie 19 m/s, a w Helu 16 m/s.



Rys. 2.1. Mapa synoptyczna (1 III 2026, godz. 12 UTC)

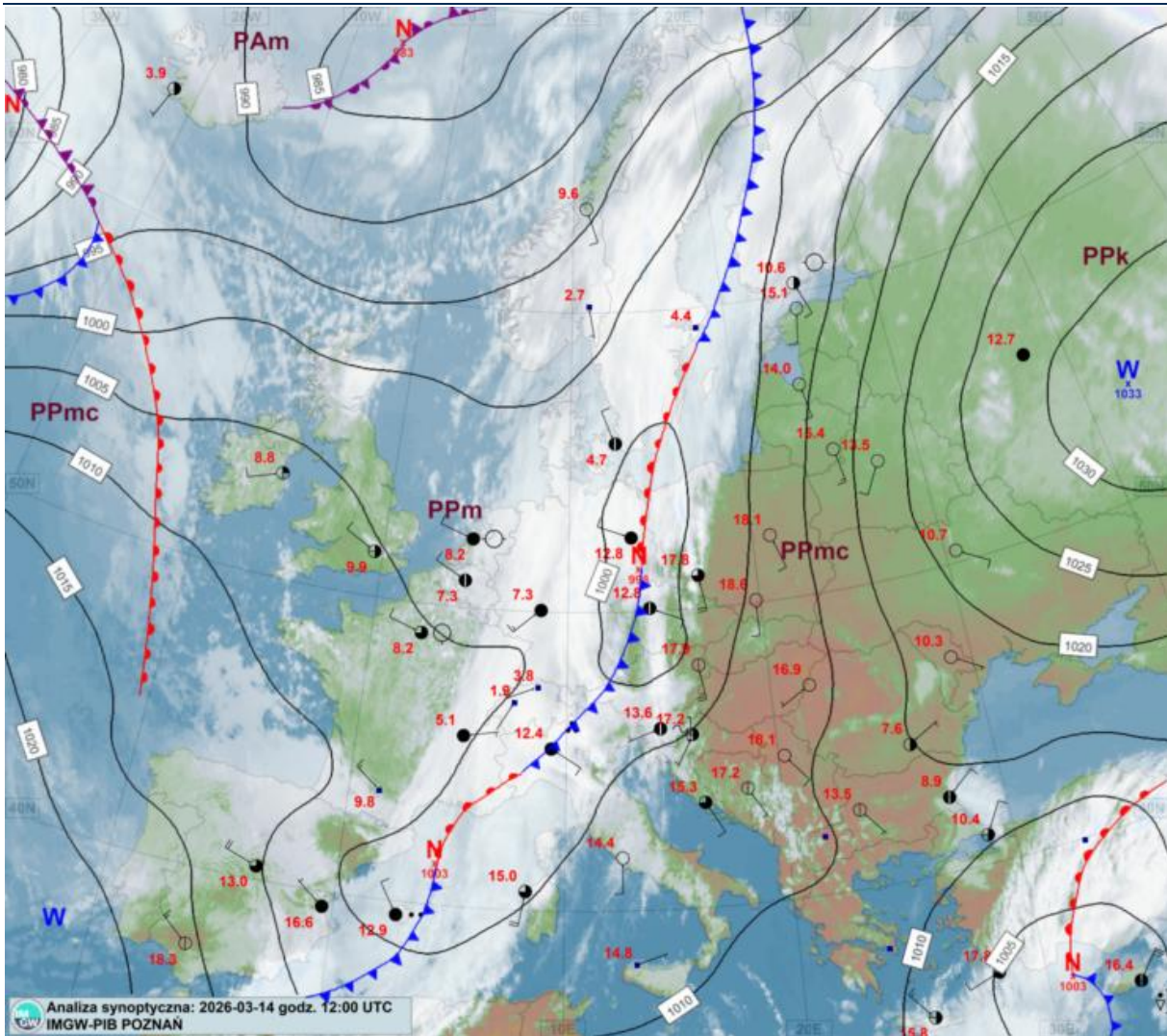
W okresie 2-10 III nad Polską dominował wpływ rozległego wyżu, którego centrum nad Europą Środkową stopniowo przemieszczało się w kierunku Europy Wschodniej i Południowo-Wschodniej. Oznaczało to napływ powietrza polarnego morskiego oraz względnie wysoka temperatura w dzień, natomiast suche powietrze sprzyjało roz pogodzeniom i nocnym przymrozkom, najsilniejszym zwłaszcza na początku okresu. Niemniej był to nadal okres ciepły, biorąc pod uwagę średnią temperaturę powietrza. Warunki wyżowe przekładały się również na brak istotnych opadów. Wiatr był na ogół słaby

i umiarkowany, a silniejsze porywy występowały głównie w górach: do 27 m/s na Kasprowym Wierchu (10 III) oraz do 25 m/s na Śnieżce (9 III); poza górami maksymalnie do 17 m/s w Bielsku-Białej (10 III).



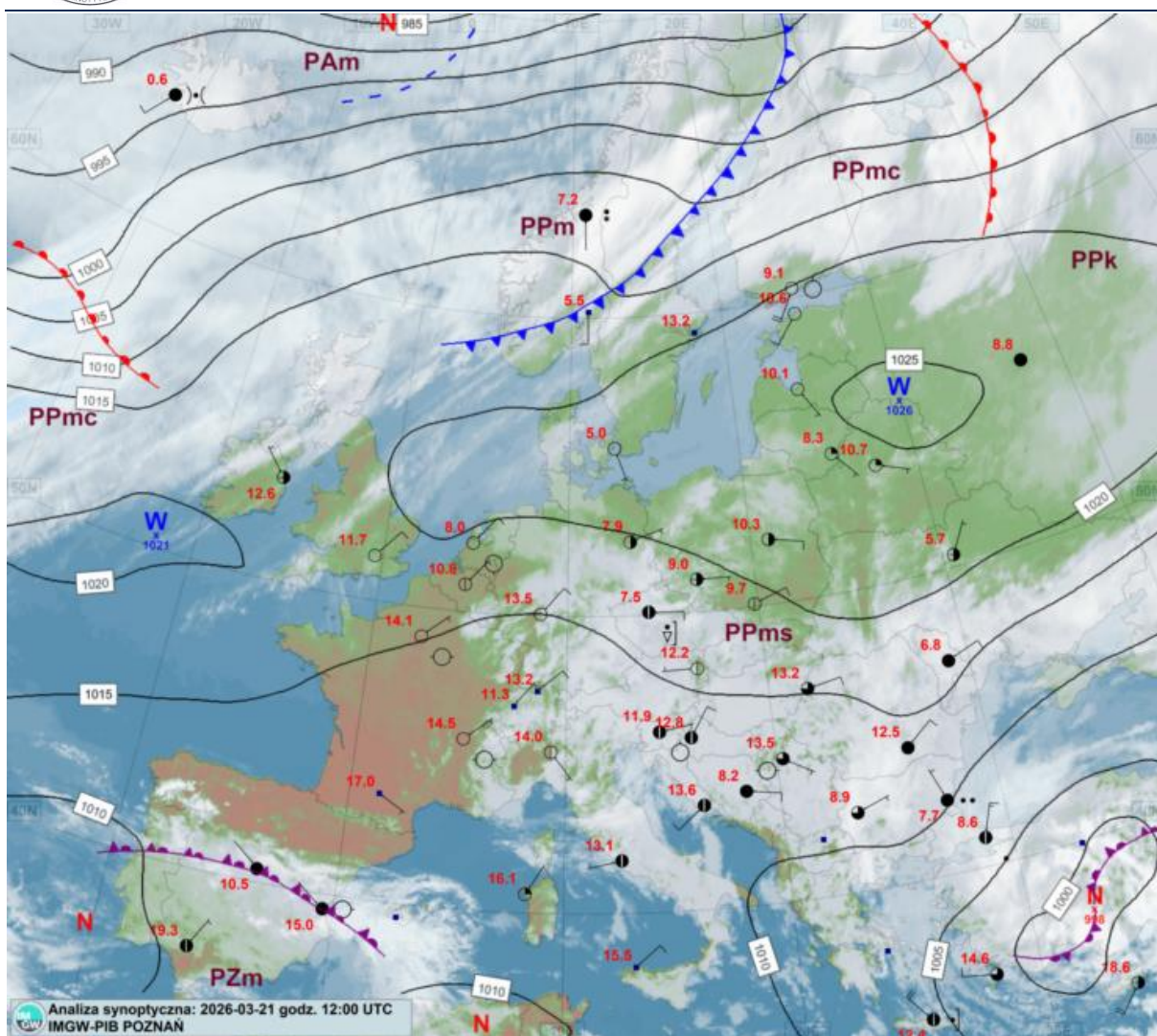
Rys. 2.2. Mapa synoptyczna (8 III 2026, godz. 12 UTC)

W okresie od 11 do 16 III nad Polską przeważał wpływ zatok niżowych, a okresami przez kraj przemieszczały się fronty atmosferyczne. Ośrodki niżowe, z którymi związane były te zatoki, znajdowały się nad północnym Atlantykiem lub północną Skandynawią, co przekładało się na napływ ciepłego powietrza polarnego morską z południowego zachodu lub zachodu. Zachmurzenie było zmienne: od małego i umiarkowanego po duże i całkowite w okresach nasuwania się frontów atmosferycznych, częściej w zachodniej połowie kraju. Miejscami występowały opady deszczu, lokalnie także deszczu ze śniegiem i śniegu w rejonach podgórskich. Punktowo pojawiały się burze, głównie na południu, a lokalnie także mgły. Opady były jednak słabe i nie odnotowano istotnych sum opadów. Najsilniejsze porywy wiatru wystąpiły 14 III: do 30 m/s na Kasprowym Wierchu, 19 m/s w Zakopanem i w Kłodzku oraz 13 III do 28 m/s na Śnieżce i 18 m/s w Ustce.



Rys. 2.3. Mapa synoptyczna (14 III 2026, godz. 12 UTC)

W okresie od 17 do 24 III nad Polską dominowały wyż. Nadal napływało dość ciepłe powietrze polarne morskie, choć chłodniejsze niż w poprzednio opisywanym okresie. Zachmurzenie było najczęściej małe i umiarkowane, okresami wzrastające do dużego. Miejscami występowały słabe opady deszczu, głównie na południu, wschodzie i północy kraju, a w rejonach podgórskich i w górach także deszczu ze śniegiem i śniegu. Stosunkowo największe zachmurzenie oraz najwięcej opadów wystąpiło 20 III, kiedy przez Polskę przemieszczała się płytką zatoka niżowa z frontem atmosferycznym; były to jednak nadal opady słabe. Okresami tworzyły się mgły i silne zamglenia. Najsilniejsze porywy wiatru wystąpiły 24 III na Śnieżce do 25 m/s, natomiast poza górami nie odnotowano istotnych porywów wiatru.



Rys. 2.4. Mapa synoptyczna (21 III 2026, godz. 12 UTC)

W ostatnim analizowanym okresie, obejmującym 25-31 III, wpływ na pogodę w Polsce miały głównie niży z układami frontów atmosferycznych. Mimo że suma opadów w skali miesiąca była niska, ten tydzień był bardziej wilgotny, zwłaszcza na południu i południowym wschodzie kraju. Nad Polskę napływało powietrze polarne morskie: cieplejsze nad wschodnią połowę kraju i chłodniejsze nad zachodnią, a obie masy rozdzielał pofalowany front atmosferyczny. Dominowało zachmurzenie duże i całkowite, okresami z większymi przejaśnieniami i roz pogodzeniami. Występowały opady deszczu, miejscami o umiarkowanym natężeniu, częstsze na południu i południowym wschodzie, a w rejonach podgórskich i w górach także deszczu ze śniegiem i śniegu. Lokalnie pojawiały się burze oraz mgły. W analizowanym okresie istotne dobowe sumy opadu wystąpiły m.in. 26 III (Zawoja 39 mm, Błatnia 33 mm, Krosno 22 mm), 27 III (Kasprowy Wierch 38 mm, Markowe Szczawiny 39 mm, Koszarawa-Żłabne 29 mm), 29 III (Morskie Oko 20 mm), 30 III (Morskie Oko 31 mm, Koszarawa-Żłabne 24 mm) oraz 31 III (Kasprowy Wierch 23 mm). Najsilniejsze porywy wiatru wystąpiły na Śnieżce do 32 m/s (25 III), natomiast poza górami najsilniejszy wiatr wystąpił 25 III: w porywach Ustka 20 m/s, Kołobrzeg-Dźwirzyno 19 m/s, Świnoujście, Szczecin, Mikołajki i Łeba – wszystkie po 18 m/s.

Legenda do map synoptycznych:

Zjawiska meteorologiczne

	mgła, mgła marznąca		deszcz ciągły
	marznący deszcz, mżawka		mżawka
	grad		śnieg
	burza, błyskawica		opady przelotne deszczu lub śniegu
	zawieje lub zamieć		satelitarny obraz stref zachmurzenia

Zachmurzenie i prędkość wiatru

	niebo bezchmurne		cisza
	stopień zachmurzenia		wiatr zmienny
			1 m/s
			2,5 m/s
			5 m/s
			7,5 m/s
			10 m/s
		...	
	zachmurzenie całkowite		22,5 m/s
	niebo niewidoczne		25 m/s
	stacja automatyczna		27 m/s

prędkość wiatru kierunek wiatru wielkość zachmurzenia

Masy powietrza

PP	powietrze polarne	
PA	powietrze arktyczne	
PZ	powietrze zwrotnikowe	
M	- morskie	
K	- kontynentalne	
C	- ciepłe	
S	- stare	

Układy ciśnienia

W	Wyż	izobara co 5 hPa
N	Niż	

Podsumowanie*

Średnia obszarowa temperatura powietrza w Polsce w marcu 2026 roku wynosiła 6,4°C i była wyższa od wieloletniej normy dla tego miesiąca (odchylenie od średniej z lat 1991-2020 wynosiło 3,3°C). Według kwantylowej klasyfikacji warunków termicznych miesiąc ten należy uznać za „ekstremalnie ciepły” biorąc pod uwagę średnią dla Polski. Na podstawie dostępnych danych ze stacji synoptycznych marzec 2026 r. pod względem termicznym był niemal w całej Polsce znacznie powyżej normy - odchylenie powyżej 2,0°C. Jedynie lokalnie na wybrzeżu oraz w rejonie Przedgórze Sudeckiego, gdzie odchylenia od normy wynosiły 2,0°C lub nieco mniej. Najwyższe odchylenia wystąpiły na wschodzie Polski: na stacji w Białymstoku średnia miesięczna temperatura powietrza była wyższa od średniej wieloletniej o 4,7°C. Najniższe dodatnie odchylenie od normy, wynoszące 1,9°C, zanotowano na stacji w Jeleniej Górze. Najwyższa średnia temperatura powietrza wystąpiła w Warszawie i wyniosła 7,8°C (o 4,6°C powyżej normy), najniższa zaś w Helu: 4,7°C, a w górach: na Kasprowym Wierchu: -2,9°C.

Najwyższą temperaturę maksymalną w marcu zanotowano 14 III w Krakowie - wyniosła ona 19,4°C. Najniższa temperatura minimalna wystąpiła natomiast 28 III na Śnieżce i 27 oraz 28 III na Kasprowym Wierchu i wyniosła -8,8°C, a poza obszarami górskimi odnotowano ją 6 III w Jeleniej Górze, gdzie wyniosła -6,8°C.

W Warszawie średnia miesięczna temperatura powietrza w marcu wyniosła 7,8°C i, jak wspomniano, była o 4,6°C wyższa od średniej wieloletniej. Najwyższą temperaturę maksymalną w stolicy wystąpiła 14 III i wyniosła 18,9°C. Najniższą temperaturę minimalną marca w Warszawie odnotowano 7 III, kiedy zanotowano -3,7°C. W wieloleciu 1951-2026 najniższą temperaturę minimalną w Warszawie zanotowano 1 III 1963 r. i wyniosła ona -22,6°C. Z kolei najwyższą temperaturę maksymalną w okresie od 1951 r. pozostaje 25,3°C, zaobserwowane 31 III 2024 r.

Pod względem opadów tegoroczny marzec był niemal na całym obszarze kraju skrajnie suchy: suma opadów wynosiła poniżej 50% normy, a na znacznym obszarze nawet poniżej 25% normy. Jedynie na południu Polski miejscami był bardzo suchy lub suchy (odpowiednio 50-74% i 75-89% normy opadowej), w Karpatach zaś miejscami mieścił się w normie lub był wilgotny (90-110% i 111-125% normy). Na południu woj. małopolskiego lokalnie marzec był nawet bardzo wilgotny lub skrajnie wilgotny (odpowiednio 126-150% oraz powyżej 150% normy).

Najwyższą miesięczną sumę opadów: 65,0 mm, zanotowano w Bielsku-Białej, co stanowiło 111% normy wieloletniej dla tej stacji, na stacjach górskich na Kasprowym Wierchu 150,6 mm (134% normy). Najniższą miesięczną sumę opadów zanotowano na stacji w Suwałkach: 0,2 mm, co stanowiło zaledwie 0,5% normy wieloletniej. Najwyższą dobową sumę opadów zmierzono 27 III w Nowym Sączu: 21,7 mm, a w górach 38,0 mm na Kasprowym Wierchu w dniu 27 III.

W Warszawie miesięczna suma opadów wyniosła zaledwie 2,4 mm, co stanowiło 8,3% normy wieloletniej dla stolicy. Najwyższą dobową sumę opadów: 1,7 mm, zanotowano 25 III. W latach 1951-2026 najwyższą dobową sumę opadu w Warszawie odnotowano 11 III 1981 i wyniosła ona 14,8 mm.

* Podane wartości pochodzą ze stacji synoptycznych. Wszystkie odniesienia dotyczą normy wieloletniej z lat 1991-2020.

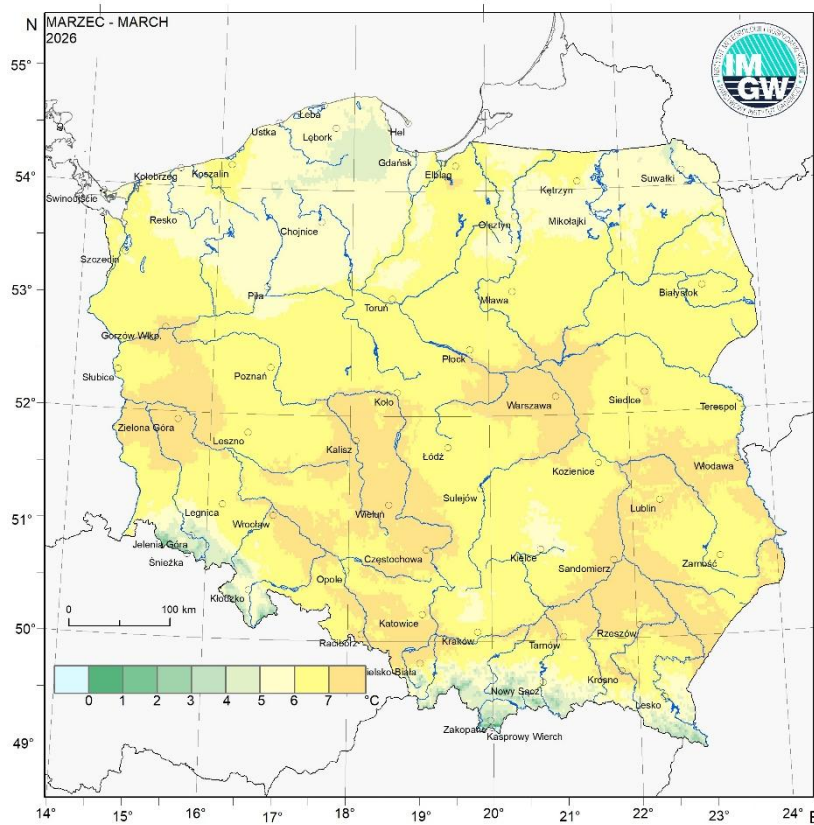


Wartości ekstremalne dla marca w wieloleciu 1951-2026:

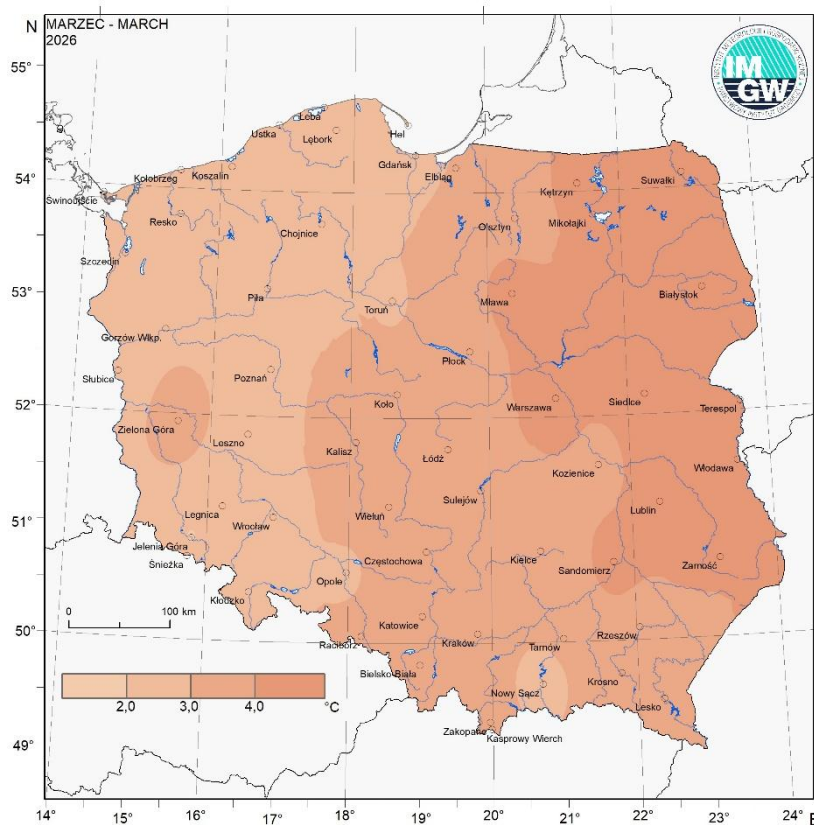
Najniższa temperatura	-30,9°C	w Rzeszowie	1 III 1963
Najwyższa temperatura	25,6°C	w Nowym Sączu	21 III 1974
Najwyższa suma opadów	52,1 mm	w Słubicach	11 III 1981
	53,2 mm	na Kasprowym Wierchu	11 III 1978

Wartości ekstremalne dla marca w dziesięcioleciu 2017-2026:

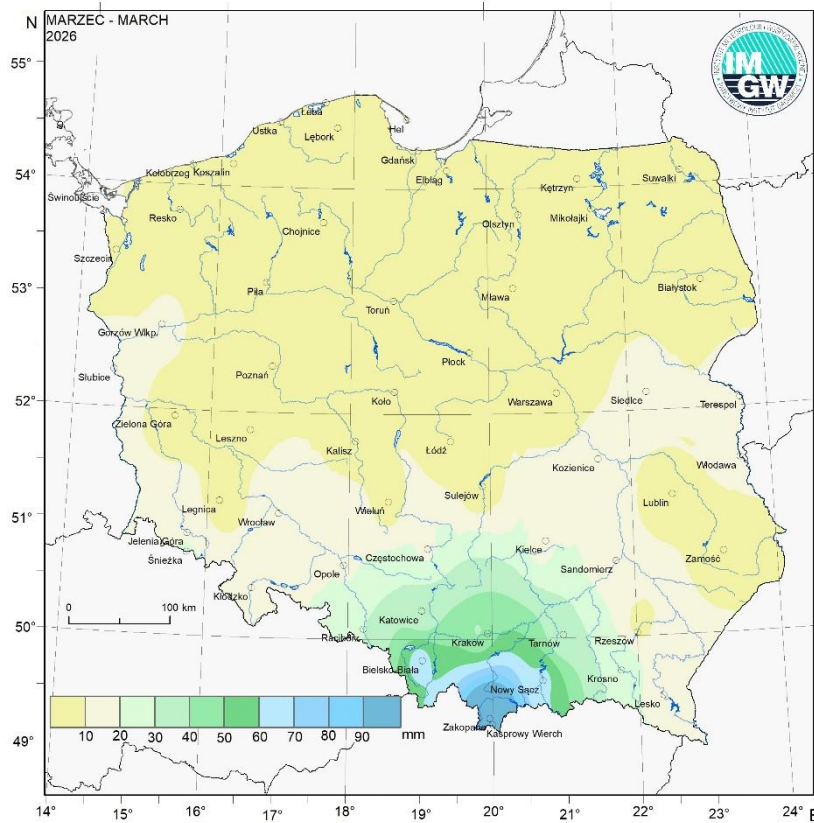
Najniższa temperatura	-24,2°C	w Zamościu	2 III 2018
Najwyższa temperatura	25,5°C	w Tarnowie	30 III 2024
Najwyższa suma opadów	31,8 mm	w Mikołajkach	13 III 2025
	44,6 mm	na Kasprowym Wierchu	27 III 2023



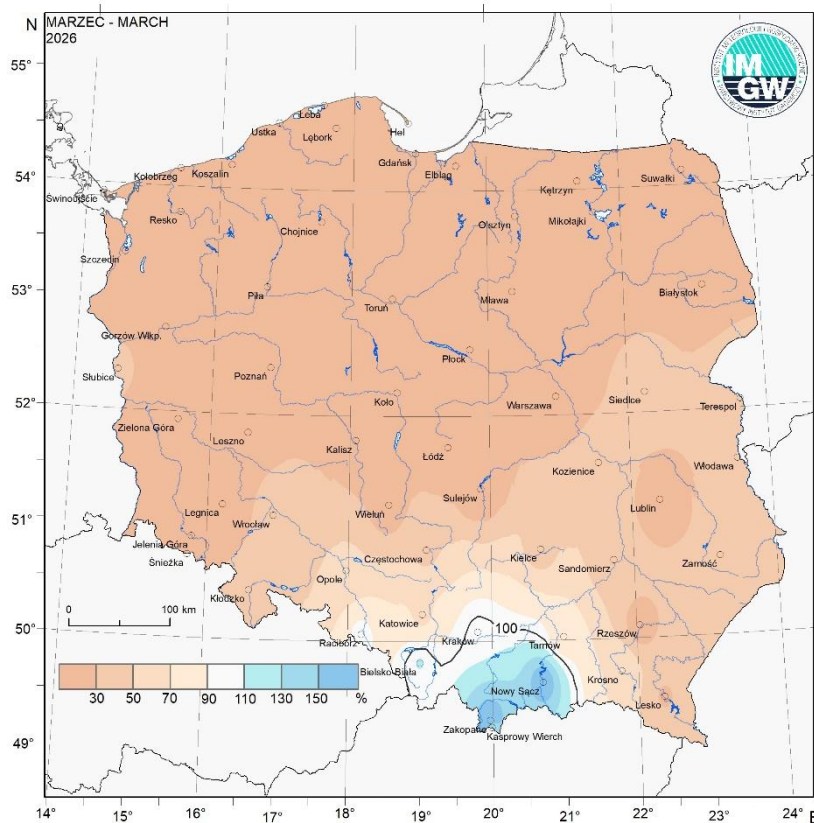
Rys. 2.6. Średnia miesięczna temperatura powietrza w marcu 2026



Rys. 2.7. Odchylenie średniej miesięcznej temperatury powietrza w marcu 2026, w stosunku do średniej wieloletniej 1991-2020



Rys. 2.8. Miesięczna suma opadu atmosferycznego w marcu 2026



Rys. 2.9. Anomalia miesięcznej sumy opadu atmosferycznego w marcu 2026, jako procent normy wieloletniej 1991-2020

Tab. 2.1. Charakterystyki meteorologiczne w marcu 2026

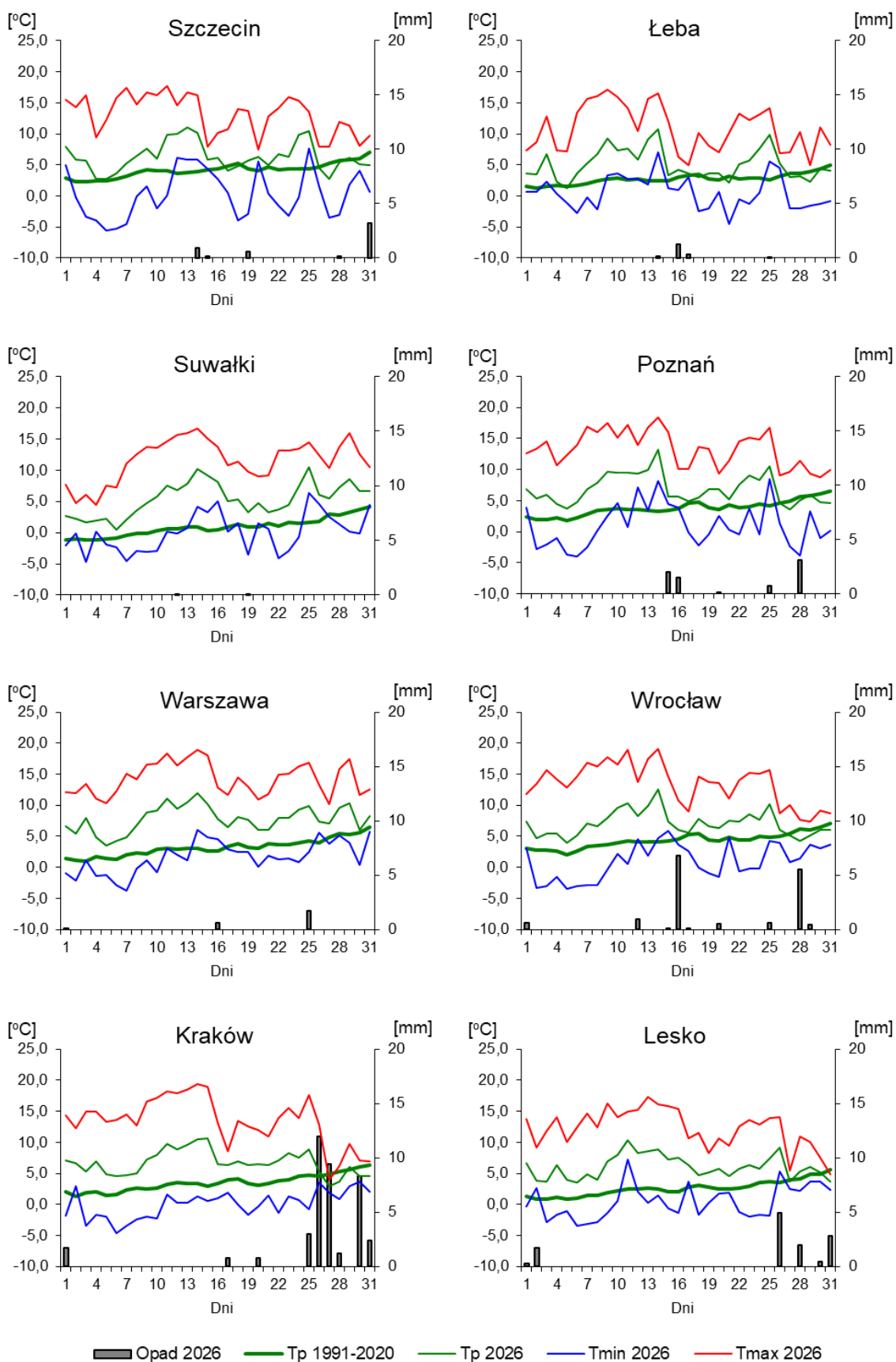
L.p.	Stacja	Temperatura powietrza						Temperatura gruntu na głęb. 5 cm		Opady atmosferyczne			Pokrywa śnieżna		Uśonecznienie
		$T_{\text{średnia}}$ [°C]	Odchylenie $T_{\text{sr.}}$ od normy* [°C]	T_{max} [°C]	T_{min} [°C]	T_{min} przy gruncie [°C]	Liczba dni z T_{min} przy gruncie < 0°C	$T_{\text{średnia}}$ [°C]	T_{min} [°C]	Suma [mm]	% normy*	Liczba dni z opadem	Liczba dni z pokrywą śnieżną	Max grubość pokrywy śnieżnej [cm]	Suma [godz.]
1	Białystok	6,4	4,7	18,3	-5,1	-6,9	24	.	.	8,6	25	2	-	-	241,9
2	Chojnice	5,4	3,0	16,1	-4,1	-6,3	23	4,2	0,3	3,6	9	3	-	-	208,9
3	Jelenia Góra	4,8	1,9	17,4	-6,8	-8,7	23	5,3	1,1	11,9	25	11	-	-	178,1
4	Katowice	6,9	3,3	18,4	-3,9	-5,4	17	6,5	1,6	31,4	66	8	-	-	191,2
5	Kielce	6,0	3,5	17,5	-5,5	-6,5	24	5,3	0,2	17,1	43	8	-	-	209,7
6	Koszalin	6,3	3,0	17,2	-3,3	-6,4	18	.	.	2,0	4	6	-	-	188,8
7	Kraków	6,7	3,2	19,4	-4,6	-5,6	22	5,9	0,0	39,6	104	9	-	-	201,3
8	Lublin	6,9	4,5	17,5	-3,8	-6,9	24	6,1	1,1	6,1	16	4	-	-	219,5
9	Łódź	6,4	3,3	18,1	-6,0	-8,1	22	6,0	0,2	3,6	10	5	-	-	216,1
10	Mława	6,6	4,3	18,5	-4,1	-5,7	21	6,7	0,5	3,5	11	4	3	6	233,5
11	Olsztyn	5,9	3,7	18,0	-4,5	-7,7	21	7,3	0,6	2,9	7	3	2	10	202,0
12	Opole	6,9	2,8	18,3	-4,3	-6,5	18	7,3	1,3	19,5	55	10	-	-	188,0
13	Poznań	6,8	3,0	18,4	-4,0	-8,7	24	5,3	0,1	7,4	19	5	-	-	211,6
14	Rzeszów	7,1	3,8	19,0	-4,6	-6,1	18	7,1	1,0	6,2	16	5	-	-	230,0
15	Suwałki	5,3	4,4	16,7	-4,7	-7,4	23	4,8	0,3	0,2	1	2	6	13	234,8
16	Szczecin	6,3	2,1	17,7	-5,5	-7,4	22	6,3	-0,5	5,1	13	5	-	-	202,4
17	Terespol	6,9	4,4	18,2	-4,8	-6,4	23	5,5	0,0	12,7	42	2	-	-	232,6
18	Toruń	6,1	2,9	18,7	-5,4	-7,8	24	4,9	0,1	6,8	21	5	-	-	225,9
19	Warszawa	7,8	4,6	18,9	-3,7	-7,7	22	6,5	-1,6	2,4	8	3	-	-	247,2
20	Wrocław	7,0	2,7	19,1	-3,4	-4,9	17	6,1	1,4	15,5	44	9	-	-	183,7
21	Zakopane	3,7	3,1	14,3	-4,1	-5,5	27	3,6	-0,8	108,8	177	12	8	40	153,9
22	Zielona Góra	7,7	3,7	18,4	-1,0	-3,5	9	6,5	1,1	7,0	15	6	-	-	196,2

Oznaczenia:

kreska (-) - zjawisko nie wystąpiło;

kropka (.) - brak danych;

* wartości odniesiono do norm z okresu 1991-2020;



Opad 2026 Tp 1991-2020 Tp 2026 Tmin 2026 Tmax 2026
 Rys. 2.10. Średnie dobowe i ekstremalne temperatury powietrza oraz dobowe sumy opadu atmosferycznego w marcu 2026

Informacja o liczbie zarejestrowanych wyładowań atmosferycznych na obszarze Polski przez system wykrywania wyładowań PERUN

W marcu 2026 system wykrywania i lokalizacji wyładowań atmosferycznych PERUN zarejestrował na obszarze Polski 2229 wyładowań, w tym:

- 2121 wyładowań chmurowych,
- 22 wyładowania doziemne dodatnie,
- 86 wyładowanie doziemne ujemne.

3. Warunki hydrologiczne

Ostatniego dnia lutego (28 II) stan wody na Wiśle znajdował się w strefie wody średniej, jedynie lokalnie w górnym biegu w strefie wody wysokiej, a u ujścia w strefie wody niskiej. Na Narwi przeważała strefa wody średniej, lokalnie notowano strefę wody wysokiej i niskiej. Na Bugu tego dnia stan wody układał się na pograniczu wody średniej i wysokiej. Poziom wody na Odrze układał się głównie w strefie wody średniej lokalnie w strefie wody wysokiej, a w dolnym biegu w strefie wody niskiej. Stan wody na Warcie układał się przeważnie w strefie wody średniej, w górnym biegu miejscami w strefie wody niskiej.

Marzec pod względem opadowym oceniony został na niemal całym obszarze kraju jako skrajnie suchy, jedynie na południu Polski bardzo suchy i suchy, a w Karpatach lokalnie nawet bardzo i skrajnie wilgotny (rys. 2.8 i 2.9). Opady były sumarycznie niewysokie, a wyższe opady notowano miejscami, głównie w południowej części kraju, w trzeciej dekadzie miesiąca. Pokrywa śnieżna utrzymywała się miejscami jeszcze w pierwszej dekadzie marca w północno-wschodniej części kraju, a później tylko w górach.

W tab. 2.1 przedstawiono charakterystyki meteorologiczne (m.in. opadowe) dla wybranych 22 miast położonych w różnych rejonach Polski. Z tego wynika, że marzec pod względem opadowym był bardzo zróżnicowany nie tylko przestrzennie, ale też w czasie. Liczba dni z opadem w miesiącu wynosiła od kilku dni w przeważającej części kraju do kilkunastu dni na południu; najwięcej, 12 dni z opadem zanotowano w Zakopanem. W miesiącu tym pokrywa śnieżna była notowana przez 8 dni w Zakopanem, 6 dni w Suwałkach, a przeważająca część kraju była wolna od pokrywy śnieżnej.

W tabeli 3.1 umieszczono najwyższe w województwach dobowe sumy opadu (20 mm i wyższe), jakie wystąpiły w poszczególnych dniach marca.

Tab. 3.1. Najwyższe dobowe sumy opadu w województwach (20 mm i wyższe)

Data	Opad maks. [mm]	Lokalizacja	Województwo i % stacji z opadem powyżej 20 mm	Zlewnia
26 III	39	Zawoja	małopolskie, 11%	Skawica
	22	Krosno	podkarpackie, 1%	Wistok
	33	Błatnia	śląskie, 12%	Brennica
27 III	39	Markowe Szczawiny	małopolskie, 37%	Skawica
	29	Koszarawa-Żtabne	śląskie, 12%	Koszarawa
29 III	20	Morskie Oko	małopolskie, 0%	Rybi Potok
30 III	31	Morskie Oko	małopolskie, 13%	Rybi Potok
	24	Koszarawa-Żtabne	śląskie, 1%	Koszarawa
31 III	23	Kasprowy Wierch	małopolskie, 0%	Biały Dunajec

Na podstawie danych z tab. 3.1 można stwierdzić, że w marcu opady przekraczające 20 mm na dobę (uznawane za potencjalnie niebezpieczne) wystąpiły tylko w ciągu kilku dni. Najwyższa dobową suma opadów została zarejestrowana w dniu 25 III na stacji meteorologicznej Zawoja i 28 III na stacji Markowe Szczawiny, spadło tam po 39 mm.

Na rzekach w marcu notowano głównie stabilizację z tendencją spadkową, dopiero w trzeciej dekadzie miesiąca wystąpiły lokalnie wzrosty związane ze sptywem wód opadowych.

Zestawienie najwyższych dobowych przyrostów stanu wody (40 cm i wyższe, o 6 UTC) zamieszczono w tab. 3.2. Umieszczone tu najwyższe dobowe wartości wzrostów stanu wody,

zgodnie z zasadą przyjętą w miesięcznych Biuletynach PSHM, dotyczą wartości z godz. 6 UTC. Również informacje o wysokości przekroczeń stanu ostrzegawczego i alarmowego podawane są w Biuletynach PSHM wg stanu na godz. 6 UTC.

Tab. 3.2. Najwyższe dobowe przyrosty stanu wody (40 cm i wyższe, o 6 UTC)

Data	Województwo	Rzeka	Stacja hydrologiczna	Przyrost stanu 6 UTC [cm]
1 III	warmińsko-mazurskie	Guber	Prosna	60
	pomorskie	Wisła	Tczew	51
	pomorskie	Słupia	Gałąźnia Mała	45
2 III	warmińsko-mazurskie	Pastęka	Pierzchały_2	44
3 III	kujawsko-pomorskie	Wisła	Toruń	55
	kujawsko-pomorskie	Wisła	Fordon	52
	pomorskie	Radunia	Pruszcz Gdański	47
4 III	pomorskie	Tuja	Nowy Dwór Gdański	65
	mazowieckie	Bug	Zabuże	59
	pomorskie	Wisła	Tczew	56
5 III	warmińsko-mazurskie	Pastęka	Pierzchały	46
9 III	kujawsko-pomorskie	Wda	Krąplewice	77
14 III	opolskie	Odra	Ujście Nysy Kłodzkiej	50
16 III	kujawsko-pomorskie	Wda	Krąplewice	75
	dolnośląskie	Bystrzyca	Lubachów	41
17 III	dolnośląskie	Odra	Malczyce	75
21 III	dolnośląskie	Bystrzyca	Lubachów	45
23 III	kujawsko-pomorskie	Wda	Krąplewice	66
26 III	małopolskie	Wisła	Jawiszowice	55
	wielkopolskie	Noteć	Czarnków	55
27 III	małopolskie	Wisła	Grabie	89
	śląskie	Odra	Racibórz-Miedonia	85
28 III	dolnośląskie	Odra	Malczyce	74
	małopolskie	Biała	Ciężkowice	59
	podkarpackie	Ropa	Topoliny	49
	małopolskie	Skawinka	Radziszów	46
	podkarpackie	Wisłoka	Krajowice	45
29 III	pomorskie	Słupia	Gałąźnia Mała	78
	świętokrzyskie	Wisła	Sandomierz	53
30 III	kujawsko-pomorskie	Wda	Krąplewice	66
	dolnośląskie	Bystrzyca	Lubachów	43

Najważniejszymi przyczynami wysokich wzrostów stanu wody w rzekach w tym miesiącu były: praca urządzeń hydrotechnicznych oraz spływ wód opadowych (głównie w trzeciej dekadzie miesiąca) i roztopowych – w pierwszej dekadzie głównie we wschodniej części kraju. Wpływ wód roztopowych na poziom rzek w północno-wschodniej części kraju spowodował wtedy ich wzrosty i utrzymywanie się powyżej strefy stanów alarmowych i ostrzegawczych.

W pierwszej dekadzie na części rzek w północno-wschodniej i wschodniej części kraju notowano zjawiska lodowe, głównie w postaci kry, lodu brzegowego oraz pokrywy lodowej, w drugiej dekadzie marca zjawiska lodowe notowane były jeszcze tylko na jeziorach.

Tab. 3.3. Zestawienie stacji hydrologicznych, na których został przekroczony stan alarmowy

Data	Stacja hydrologiczna	Rzeka	Województwo	Stan ostrzegawczy [cm]	Stan alarmowy [cm]	Stan wody [cm]	Osiągnięty lub przekroczony stan
1 III	Elgiszewo	Drwęca	kujawsko-pomorskie	200	230	230	alarmowy
	Zbytowa	Widawa	dolnośląskie	310	350	361	alarmowy
	Pasłęk	Wąska	warmińsko-mazurskie	620	630	637	alarmowy
	Prosna	Guber	warmińsko-mazurskie	300	330	338	alarmowy
2 III	Szreńsk	Mławka	mazowieckie	130	180	194	alarmowy
	Elgiszewo	Drwęca	kujawsko-pomorskie	200	230	233	alarmowy
	Zbytowa	Widawa	dolnośląskie	310	350	360	alarmowy
	Prosna	Guber	warmińsko-mazurskie	300	330	368	alarmowy
3 III	Szreńsk	Mławka	mazowieckie	130	180	196	alarmowy
	Elgiszewo	Drwęca	kujawsko-pomorskie	200	230	232	alarmowy
	Zbytowa	Widawa	dolnośląskie	310	350	353	alarmowy
	Suchy Dąb	Bielawa	pomorskie	600	620	621	alarmowy
	Prosna	Guber	warmińsko-mazurskie	300	330	390	alarmowy
4 III	Trzcinec	Wkra	mazowieckie	280	330	336	alarmowy
	Szreńsk	Mławka	mazowieckie	130	180	190	alarmowy
	Elgiszewo	Drwęca	kujawsko-pomorskie	200	230	232	alarmowy
	Prosna	Guber	warmińsko-mazurskie	300	330	410	alarmowy
5 III	Trzcinec	Wkra	mazowieckie	280	330	332	alarmowy
	Szreńsk	Mławka	mazowieckie	130	180	186	alarmowy
	Prosna	Guber	warmińsko-mazurskie	300	330	407	alarmowy
6 III	Szreńsk	Mławka	mazowieckie	130	180	180	alarmowy
	Prosna	Guber	warmińsko-mazurskie	300	330	394	alarmowy
7 III	Prosna	Guber	warmińsko-mazurskie	300	330	368	alarmowy
8 III	Prosna	Guber	warmińsko-mazurskie	300	330	345	alarmowy

Przekroczenia stanu alarmowego w marcu notowano na 7 stacjach wodowskazowych: na Wkrze (Trzcinec: 4-5 III, maksymalnie o 6 cm), na Mławce (Szreńsk: 2-6 III, maksymalnie o 16 cm), na Drwęcy (Elgiszewo: 1-4 III, maksymalnie o 3 cm), na Bielawie (Suchy Dąb: 3 III, o 1 cm), na Wąskiej (Pasłęk: 1 III, o 7 cm), na Guberze (Prosna: 1-8 III, maksymalnie o 80 cm), na Widawie (Zbytowa: 1-3 III, maksymalnie o 11 cm).

Przekroczenia stanu ostrzegawczego w dorzeczu Wisły zanotowano w marcu na rzekach: Sękówka (Gorlice: 28-31 III), Pisa (Giżycko: 7-23 III), Bug (Popowo: 5-7 III), Huczwa (Gozdów: 1-7 III), Wkra (Trzcinec: 1-3, 6-16 III), Mławka (Szreńsk: 7-13 III), Drwęca (Brodnica: 1-8 III; Elgiszewo: 5-6 III) i Osa (Rogóżno 2: 3-9 III). W dorzeczu Odry przekroczenia stanu ostrzegawczego odnotowano na rzekach: Widawa (Zbytowa: 4-9 III; Krzyżanowice: 1-10 III), Grabia (Łask: 1 III), Śwędnia (Dębe: 5-6, 12-18, 20 III). W rzekach Przymorza stan ostrzegawczy był przekroczony na Bielawie (Suchy Dąb: 1-2, 4-5 III), a w zlewni Zalewu Wiślanego na Pasłęce (Łoży: 2-7 III) i na Guberze (Prosna: 7, 9-11 III).

Ostatniego dnia marca (31 III) stan wody na Wiśle znajdował się w strefie wody średniej, tylko w środkowym biegu w strefie wody niskiej. Na Narwi przeważała strefa wody

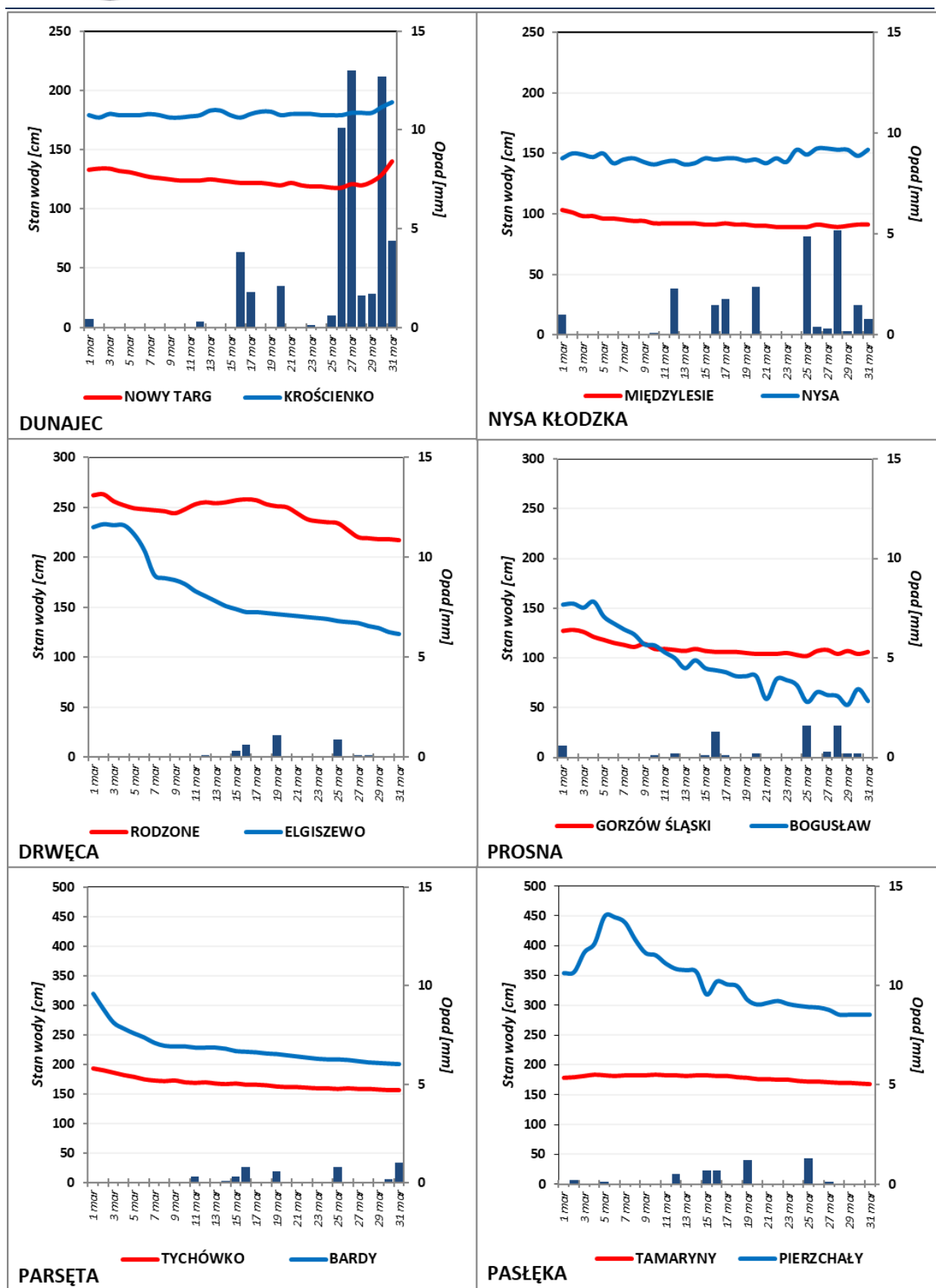
średniej, lokalnie notowano strefę wody niskiej. Na Bugu tego dnia stan wody układał się na pograniczu wody średniej i niskiej. Poziom wody na Odrze układał się głównie w strefie wody średniej, tylko w środkowym biegu w strefie wody niskiej. Stan wody na Warcie układał się przeważnie w strefie wody niskiej, w górnym i ujściowym odcinku natomiast w strefie wody średniej.

W marcu wartości stanu wody niższe lub równe najniższej dotychczas obserwowanej wartości, do roku 2024, odnotowano na 1 stacji wodowskazowej, w Spała na Pilicy ten stan został osiągnięty 31 III. W poprzednim miesiącu takie wartości odnotowano na 5 stacjach.

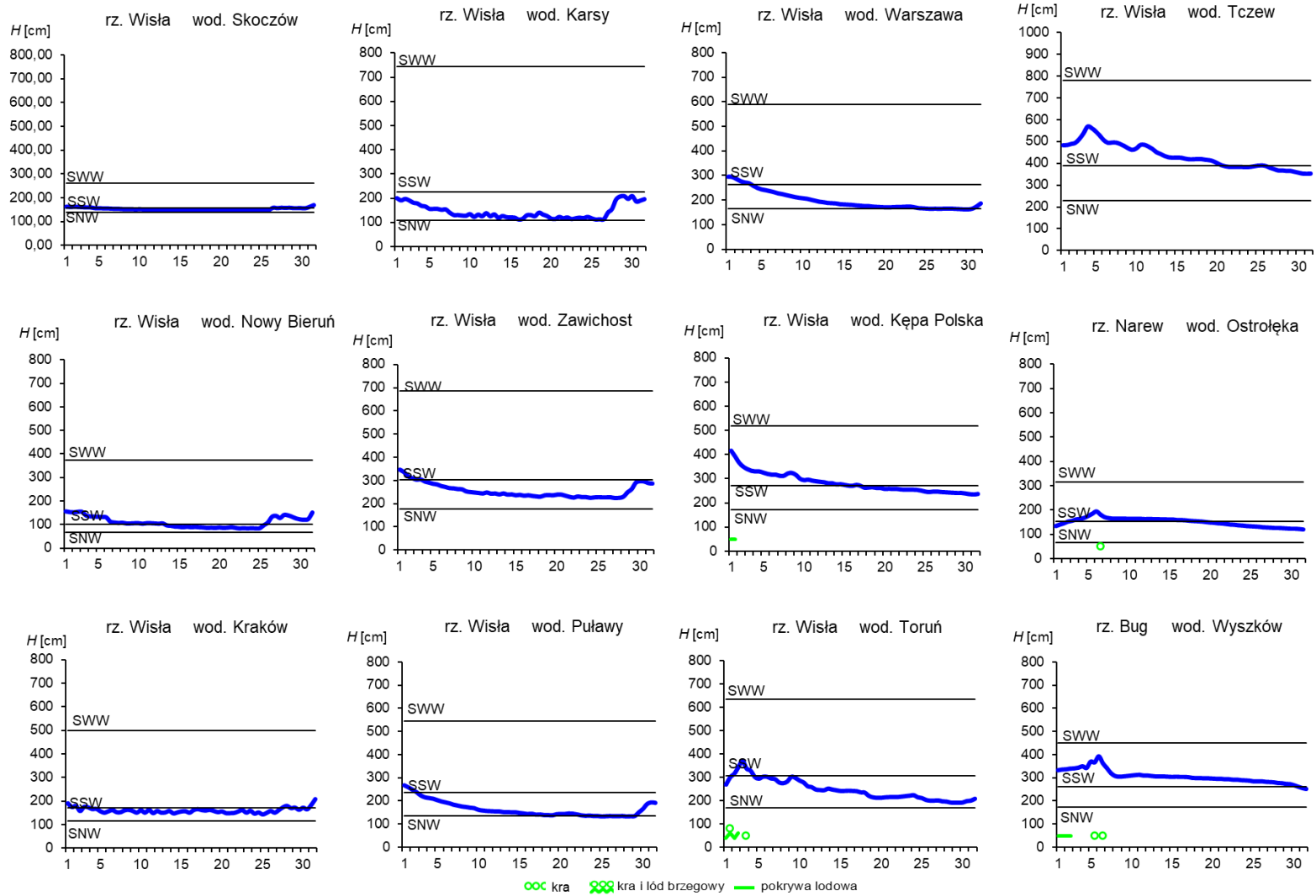
Tab. 3.4. Stacje wodowskazowe, na których stan wody w marcu 2026 był niższy od dotychczas obserwowanych wartości (do roku 2024)

Lp.	Rzeka	Stacja wodowskazowa	$H_{\min \text{ abs.}}$ [cm]	Marzec 2026 H_{\min} [cm]	ΔH * [cm]	Data wystąpienia H_{\min} (marzec 2026)
Dorzecze Wisły						
1	Pilica	Spała	15	15	0	31

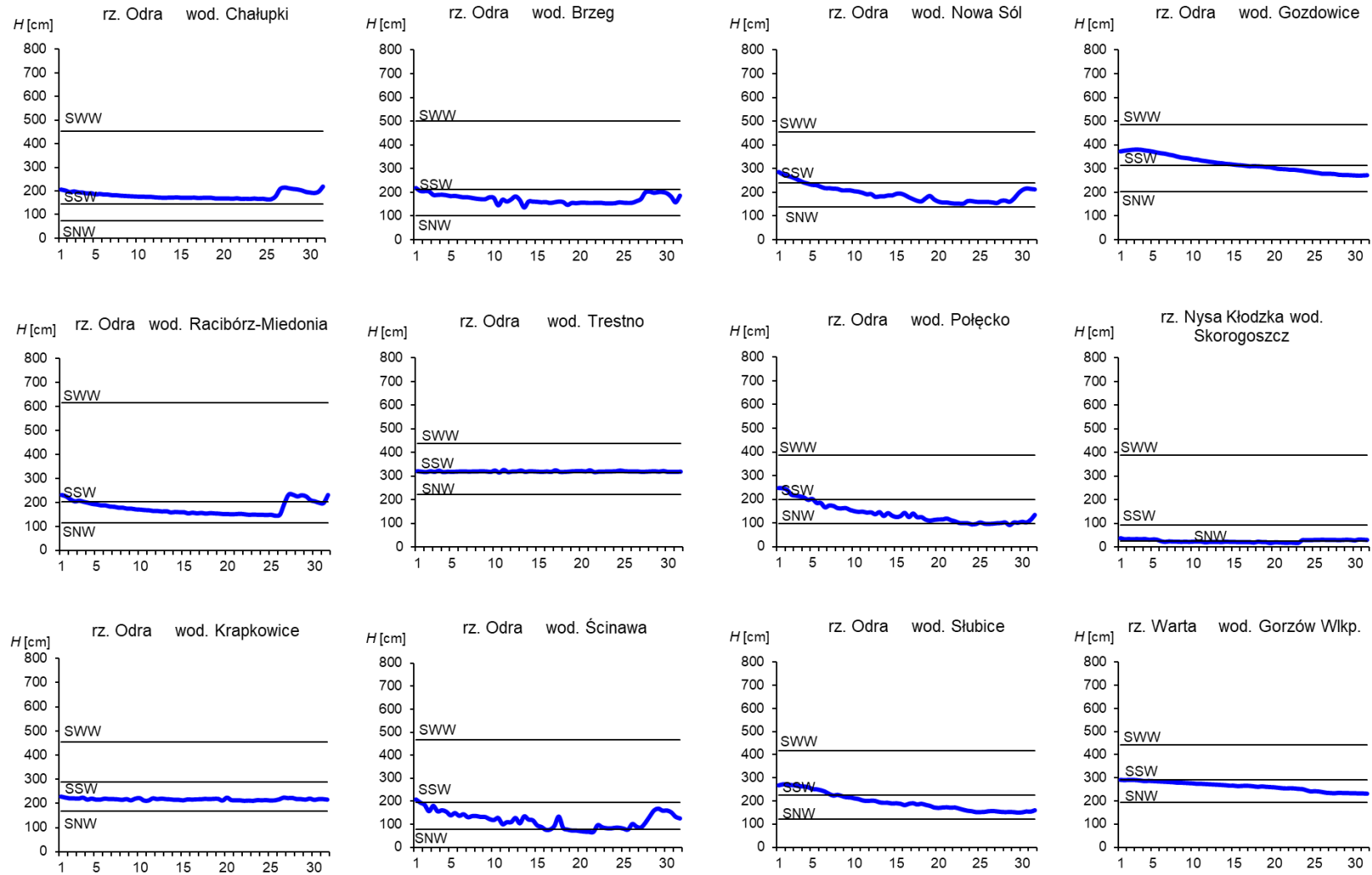
* $\Delta H = H_{\min \text{ abs.}} - H_{\min} (\text{marzec 2026})$



Rys. 3.1. Wysokość opadów średnich [mm] i przebieg stanu wody [cm] dla wybranych zlewni w Polsce w marcu 2026



Rys. 3.2. Hydrogramy stanu wody na Wiśle, Narwi i Bugu w marcu 2026



Rys. 3.3. Hydrogramy stanu wody na Odrze, Nysie Kłodzkiej i Warcie w marcu 2026

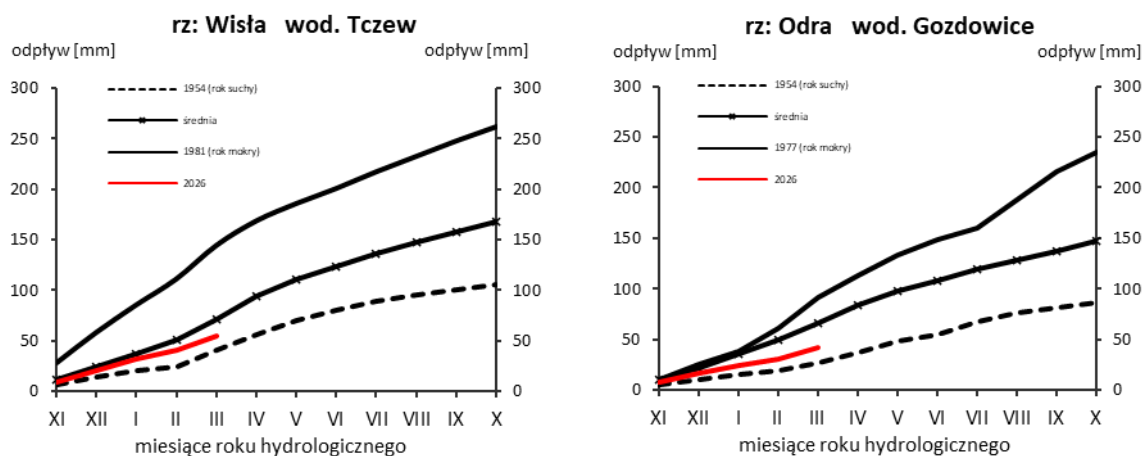
4. Odpływ rzeczny

W marcu wartości odpływu w przekrojach rzek dorzecza Wisły i Odry były zróżnicowane, ale przeważnie niższe od normy.

Odpływ (tab. 4.1) w dorzeczu Wisły wynosił od 30,6% normy w Przemyślu na Sanie do 69,2% normy w Tczewie na Wiśle, a w dorzeczu Odry od 29,7% normy w Skorogoszczu na Nysie Kłodzkiej do 61,8% w Żaganiu na Bobrze. W rzekach Przymorza odpływ stanowił 62,7% odpływu normalnego w Resku na Redze, 82,6% w Słupsku na Słupi, a w Sępopolu na Łynie 107%.

W dorzeczu Wisły odpływ kształtował się od 1,59 SNQ w Sulejowie na Pilicy do 3,02 SNQ w Wyszku na Bugu, a w dorzeczu Odry od 1,24 SNQ w Skorogoszczu na Nysie Kłodzkiej do 6,52 SNQ w Osetnie na Baryczy. W rzekach Przymorza odpływ wyniósł 1,59 SNQ w Resku na Redze, 1,75 SNQ w Słupsku na Słupi, a w Sępopolu na Łynie 4,46 SNQ.

Odpływ Wisły do Bałtyku wyniósł w marcu 13,9 mm, tj. 69,2% normy, Odrą odpłynęło 10,3 mm, tj. 59,1% normy.



Rys. 4.1. Krzywe sumowe odpływu Wisły w Tczewie i Odry w Gozdowicach

Tab. 4.1. Odpływ w marcu 2026 w stosunku do wartości charakterystycznych z wielolecia 1951-2020, w wybranych profilach wodowskazowych

Lp	Rzeka	Przekrój	A [km ²]	Wartości średnie z okresu 1951 - 2020								Marzec 2026					
				\bar{Q}_3 [m ³ /s]	\bar{H}_3 [mm]	\bar{V}_3 [mln m ³]	\bar{Q}_r [m ³ /s]	\bar{H}_r [mm]	\bar{V}_r [mln m ³]	$\Sigma \bar{k}$	SNQ [m ³ /s]	Q [m ³ /s]	H [mm]	V [mln m ³]	n [%]	Q/SNQ	Σk
1	2	3	4	5	6	7	8	9	10	11	12	13	14	15	16	17	18
1	Wisła	Sandomierz	31 810	383	32,2	1 025	287	285	9 063	0,386	101	222	18,7	595	58,0	2,20	0,339
2	Wisła	Warszawa	84 945	773	24,4	2 070	564	210	17 801	0,408	228	482	15,2	1 291	62,4	2,11	0,328
3	Wisła	Tczew	193 923	1 453	20,1	3 891	1 032	168	32 539	0,429	417	1 005	13,9	2 692	69,2	2,41	0,328
4	Dunajec	Nowy Sącz	4 337	74,5	46,0	199	65,0	472	2 049	0,287	14,9	42,4	26,2	114	56,9	2,85	0,339
5	San	Przemysł	3 688	77,4	56,2	207	52,0	445	1 641	0,400	10,3	23,7	17,2	63,5	30,6	2,29	0,274
6	Wieprz	Końmin	10 293	53,5	13,9	143	36,8	113	1 159	0,455	16,0	36,0	9,37	96,4	67,3	2,25	0,280
7	Pilica	Sulejów	3 927	32,1	21,9	86,1	22,0	177	695	0,468	8,98	14,3	9,75	38,3	44,5	1,59	0,297
8	Narew	Ostrołęka	21 921	163	19,9	436	108	156	3 411	0,464	42,7	110	13,4	295	67,6	2,58	0,276
9	Bug	Wyszaków	38 394	248	17,3	665	152	125	4 799	0,456	52,3	158	11,0	423	63,6	3,02	0,248
10	Łyna	Sępól	3 640	36,6	26,9	98,0	24,5	212	773	0,511	8,74	39,0	28,7	104	107	4,46	0,521
11	Odra	Racibórz-Miedonia	6 729	95,3	37,9	255	64,3	302	2 029	0,407	15,4	46,8	18,6	125	49,1	3,03	0,310
12	Odra	Ścinawa	29 612	233	21,1	625	177	189	5 589	0,412	62,9	105	9,50	281	45,0	1,67	0,266
13	Odra	Nowa Sól	36 840	270	19,6	722	200	171	6 292	0,432	79,4	136	9,89	364	50,5	1,71	0,277
14	Odra	Gozdowice	109 810	717	17,5	1 920	512	147	16 141	0,457	241	424	10,3	1 136	59,1	1,76	0,283
15	Nysa Kł.	Skorogoszcz*	4 489	38,1	22,7	102	35,7	251	1 127	0,359	9,12	11,3	6,74	30,3	29,7	1,24	0,201
16	Barycz	Osetno	4 580	26,6	15,6	71,3	14,8	102	466	0,545	1,55	10,1	5,91	27,1	37,9	6,52	0,240
17	Bóbr	Żagań	4 255	52,1	32,8	140	37,2	276	1 174	0,444	11,5	32,2	20,3	86,2	61,8	2,81	0,291
18	Warta	Sieradz	8 156	64,2	21,1	172	44,3	171	1 396	0,480	21,0	35,5	11,7	95,1	55,3	1,69	0,318
19	Warta	Poznań	25 909	155	16,0	416	99,4	121	3 135	0,496	39,6	69,1	7,14	185	44,5	1,75	0,309
20	Noteć	N. Drezdenko	15 932	96,2	16,2	258	72,6	144	2 289	0,479	38,4	54,3	9,13	145	56,4	1,42	0,276
21	Rega	Resko	1 134	11,6	27,5	31,1	8,70	242	274	0,496	4,57	7,29	17,2	19,5	62,7	1,59	0,330
22	Słupia	Słupsk	1 452	18,0	33,3	48,3	15,6	338	491	0,469	8,52	14,9	27,5	39,9	82,6	1,75	0,398

Objaśnienia do tab. 4.1.

Q_m	przepływ średni miesięczny z wielolecia,
H_m	odpływ miesięczny średni z wielolecia,
V_m	odpływ miesięczny średni z wielolecia,
m	indeks miesiąca
Q_r	przepływ średni roczny, z wielolecia,
H_r	odpływ roczny średni z wielolecia,
V_r	odpływ roczny średni z wielolecia,
r	indeks roku
$\sum k^-$	wskaźnik sumarycznego odpływu od początku roku hydrologicznego (1 listopada) w stosunku do odpływu średniego rocznego będącego sumą odpływów średnich miesięcznych z wielolecia
SNQ	przepływ średni z minimalnych przepływów rocznych z wielolecia,
Q	przepływ średni miesięczny bieżącego roku,
H	odpływ miesięczny bieżącego roku,
V	odpływ miesięczny bieżącego roku,
n	procent w stosunku do wartości średniej z wielolecia $n = Q / \bar{Q} * 100\% = H / \bar{H} * 100\% = V / \bar{V} * 100\%$,
k	wskaźnik odpływu miesięcznego w stosunku do odpływu średniego rocznego $k = H / \bar{H}_r = V / \bar{V}_r$
$\sum k$	wskaźnik sumarycznego odpływu od początku roku hydrologicznego (1 listopada) do końca danego miesiąca w stosunku do odpływu średniego rocznego

5. Jeziora



Rys. 5.1. Lokalizacja jezior bazowych i bilansowych sieci limnologicznej

Tab. 5.1. Morfometria i zlewnie jezior

Lp.	Jezioro	Jezioro				Zlewnia	Powierzchnia zlewni jeziora ²⁾
		Powierzchnia ²⁾	Objętość ¹⁾	Głębokość średnia ¹⁾	Głębokość maksymalna ¹⁾		
		[km ²]	[mln m ³]	[m]	[m]		[km ²]
1	Sławskie	8,3	43	5,2	12,3	Obrzyca – Odra	206,1
2	Powidzkie	10,7	131	12,7	45,4	Meszna – Warta	79,6
3	Komorze	3,9	49	11,8	34,7	Piława – Gwda	35,8
4	Sławianowskie	2,9	18	6,6	15,0	Głomia – Gwda	107,7
5	Ostrowite	3,6	36	9,4	28,5	Płociczna – Drawa	311,3
6	Morzycko	3,2	50	14,5	60,0	Słubia – Odra	60,6
7	Rajgrodzkie	14,6	143	9,4	52,0	Jegrznia – Biebrza	742,8
8	Dejguny	7,7	93	12,0	45,0	Pisa – Narew	57,7
9	Bachotek	2,2	15	7,2	24,3	Skarłanka – Drwęca	233,4
10	Jasień	5,7	48	8,3	32,2	Łupawa	71,7
11	Raduńskie Górne	3,8	60	15,5	43,0	Radunia	73,6
12	Dadaj	9,7	121	12,3	39,8	Wadąg – Łyna	340,1

¹⁾ Atlas Jezior Polski (1996, 1997, 2000)

²⁾ Mapa Podziału Hydrograficznego (2010)

W marcu 2026 r. średni poziom wody we wszystkich kontrolowanych jeziorach zmienił się w niewielkim stopniu, a średnia wartość zmiany nie osiągnęła 5 cm. W poszczególnych jeziorach obserwowano głównie wzrost poziomu wody (10 jezior), natomiast spadek lustra wody oraz brak zmiany - obserwowano w sumie w dwóch jeziorach, po jednym w każdej z tych grup. Największą zmianę (+11 cm) odnotowano w dwóch jeziorach: Rajgrodzkim i Dadaju, w pozostałych zbiornikach zmiany były niższe. Wysoki stan wody posiadało siedem jezior, średni – trzy, a niski – dwa (Powidzkie i Komorze). Najwyższe odchylenie od stanu średniego wystąpiło w Powidzkim (-59 cm), a wysokie było również w Dadaju (+32 cm) i Dejgunach (+29 cm).

Wartość bieżąca nadmiaru wody w jeziorach nad wartością wieloletnią, średnią dla wszystkich jezior, była stosunkowo niska i wynosiła nieco powyżej 1 cm. Na wartość tę złożyły się nadmiary wody w ośmiu akwenach (najwięcej w Dadaju) i niedobory w czterech pozostałych (najwięcej w Powidzkim).

Marzec był miesiącem, w którym we wszystkich jeziorach stwierdzono odwrócenie się tendencji spadkowej temperatury wody dla niemal wszystkich temperatur charakterystycznych: niskiej, średniej i wysokiej. We wszystkich kontrolowanych zbiornikach odnotowano wzrost temperatury średniej: zarówno średni (3,3°C), jak i maksymalny (4,6°C, Morzycko) i minimalny (0,5°C, Jasień). Miesięczna wartość średniej temperatury wody wyniosła 4,4°C, a ekstremalne dobowe temperatury zmierzono w jeziorach: Rajgrodzkim (8,0°C, 31 III) oraz w Bachotku (0,0°C, 5 III).

W marcu, trwałą pokrywę lodową odnotowano jeszcze na wszystkich jeziorach, dla których posiadano dane, i było to głównie w pierwszej dekadzie miesiąca. Maksymalną grubość lodu zmierzono na Jez. Rajgrodzkim (37 cm; 5 III).

Tab. 5.2. Stan i temperatura wody jezior w marcu 2026

Lp	Jezioro	\bar{H}_{III} (1981 – 2020)			H_{III}			Stan wody	ΔH			T_{III}			ΔT		
		NNW	SSW	WWW	NW	SW	WW		NW	SW	WW	NT	ST	WT	NT	ST	WT
		[cm]			[cm]				[cm]			[°C]			[°C]		
1	Sławskie	157	178	198	182	186	189	wysoki	4	6	5	2,6	6,3	7,8	1,4	4,5	5,5
2	Powidzkie	414	461	507	388	390	391	niski	4	4	3	2,1	4,0	5,4	1,0	2,6	3,3
3	Komorze	126	137	168	120	122	122	niski	0	2	1	2,5	4,7	6,7	2,0	3,9	4,9
4	Sławianowskie	163	207	240	216	217	218	wysoki	10	6	0	2,8	4,7	6,7	1,3	3,0	4,1
5	Ostrowite *)	92	107	125	114	118	122	wysoki	1	3	2	3,5	5,3	6,8	2,8	4,0	4,3
6	Morzycko	165	199	228	202	206	208	wysoki	5	7	6	2,0	5,8	7,4	1,2	4,6	5,4
7	Rajgrodzkie	104	169	244	160	184	208	średni	0	11	24	1,9	4,6	8,0	1,1	3,4	6,2
8	Dejguny	133	184	218	203	210	214	wysoki	4	10	12	1,9	3,9	7,2	0,9	2,5	5,4
9	Bachotek	221	279	309	266	288	292	wysoki	-18	3	1	0,0	4,1	6,1	0,0	3,9	5,1
10	Jasień	129	142	160	134	136	136	średni	-2	0	0	1,2	1,7	3,4	0,4	0,5	2,0
11	Raduńskie G.	482	495	522	485	489	492	średni	-6	-4	-3	1,1	3,3	5,1	1,1	3,1	4,0
12	Dadaj	101	156	215	171	183	187	wysoki	1	11	12	1,2	4,1	6,6	0,5	3,2	5,4

*) Ostrowite – wielolecie 2005 – 2020

gdzie:

\bar{H}_m - stany charakterystyczne wody w danym miesiącu w wieloleciu 1981-2020

H_m - stany charakterystyczne wody w danym miesiącu

ΔH - zmiany stanów charakterystycznych wody w stosunku do poprzedniego miesiąca

T_m - temperatury charakterystyczne wody w danym miesiącu

ΔT - zmiany temperatur charakterystycznych wody w stosunku do poprzedniego miesiąca

NNW- najniższy stan w danym miesiącu w wieloleciu 1981-2020

SSW- średni stan w danym miesiącu w wieloleciu 1981-2020

WWW- najwyższy stan w danym miesiącu w wieloleciu 1981-2020

NW- najniższy stan w danym miesiącu

SW- średni stan w danym miesiącu

WW- najwyższy stan w danym miesiącu

NT - najniższa temperatura wody w danym miesiącu

ST - średnia temperatura wody w danym miesiącu

WT- najwyższa temperatura wody w danym miesiącu

Tab. 5.3. Grubość pokrywy lodowej w marcu 2026 [cm]

Jezioro	Dzień miesiąca						Średnia grubość
	5	10	15	20	25	Ostatni	
Sławskie	11	2					7
Powidzkie							
Komorze	22	18					20
Sławianowskie	25	23					24
Ostrowite	19	17					18
Morzycko							
Rajgrodzkie	37	25					31
Bachotek	21	22	17	14			19
Jasień	34	30	15	10			22
Dadaj	25	20					23

***Rzypowszechnianie powyższych danych
wyłącznie
z podaniem IMGW-PIB jako źródła informacji***



**INSTYTUT METEOROLOGII I GOSPODARKI WODNEJ
PAŃSTWOWY INSTYTUT BADAWCZY**

01-673 Warszawa, ul. Podleśna 61

Internet: <http://www.imgw.pl>

e-mail: biuletyn@imgw.pl